



# Modéliser la propagation d'ondes dans les sols

Jean-François Semblat, [semblat@lcpc.fr](mailto:semblat@lcpc.fr)  
<http://perso.lcpc.fr/semblat.jean-francois>

*IFSTTAR, Département Géotechnique,  
Eau et Risques, Groupe Séismes et  
Vibrations, Paris, [www.lcpc.fr](http://www.lcpc.fr)*



# Plan de la présentation

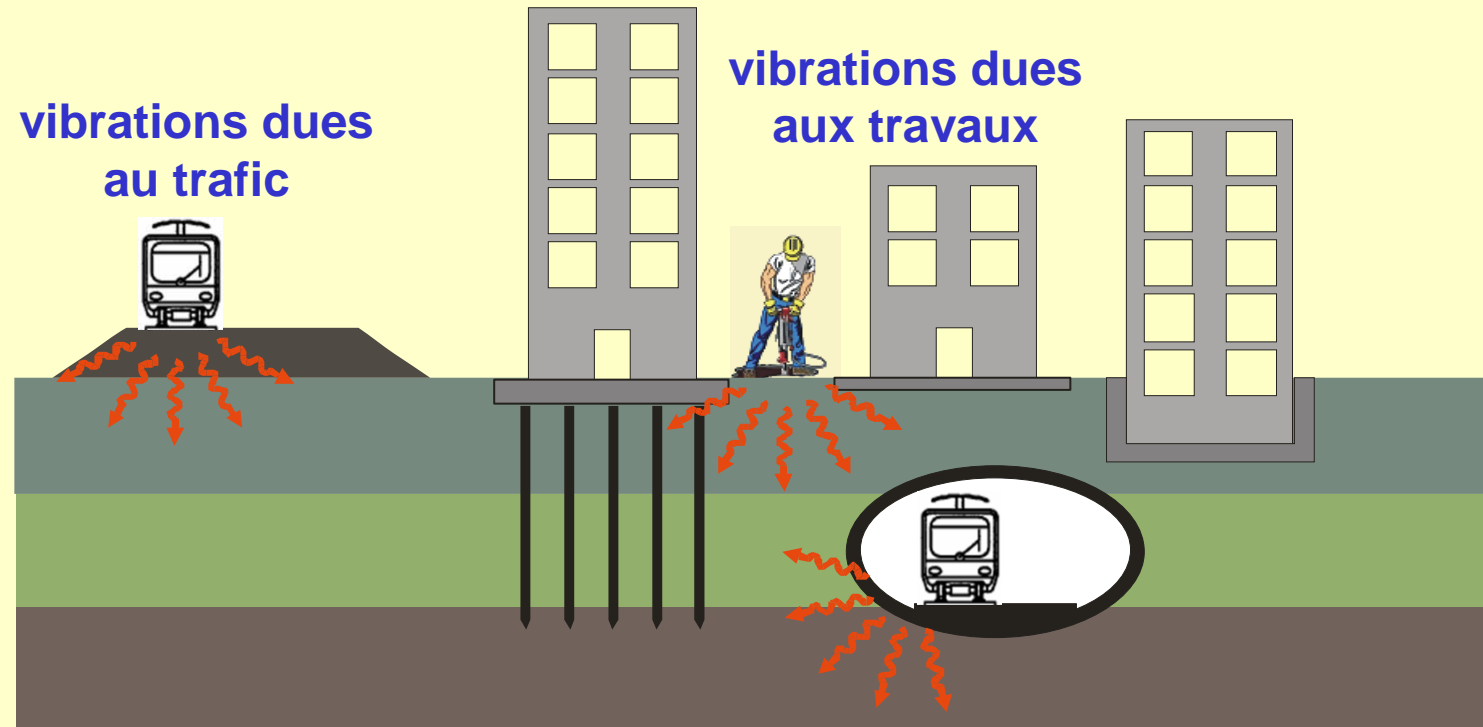
- I. Contexte : vibrations, séismes, etc.
- II. Modéliser la propagation d'ondes
  - 1. *Différentes méthodes numériques*
  - 2. *Modéliser la propagation en milieu infini*
  - 3. *Exemples*
- III. Ondes et comportement non linéaire
  - 1. *Point de vue expérimental*
  - 2. *Modèles simples et complexes*
  - 3. *Modèle non linéaire « X-NCQ »*
- IV. Intérêt de la méthode des éléments de frontière



# I/ Contexte



# Vibrations dans l'environnement

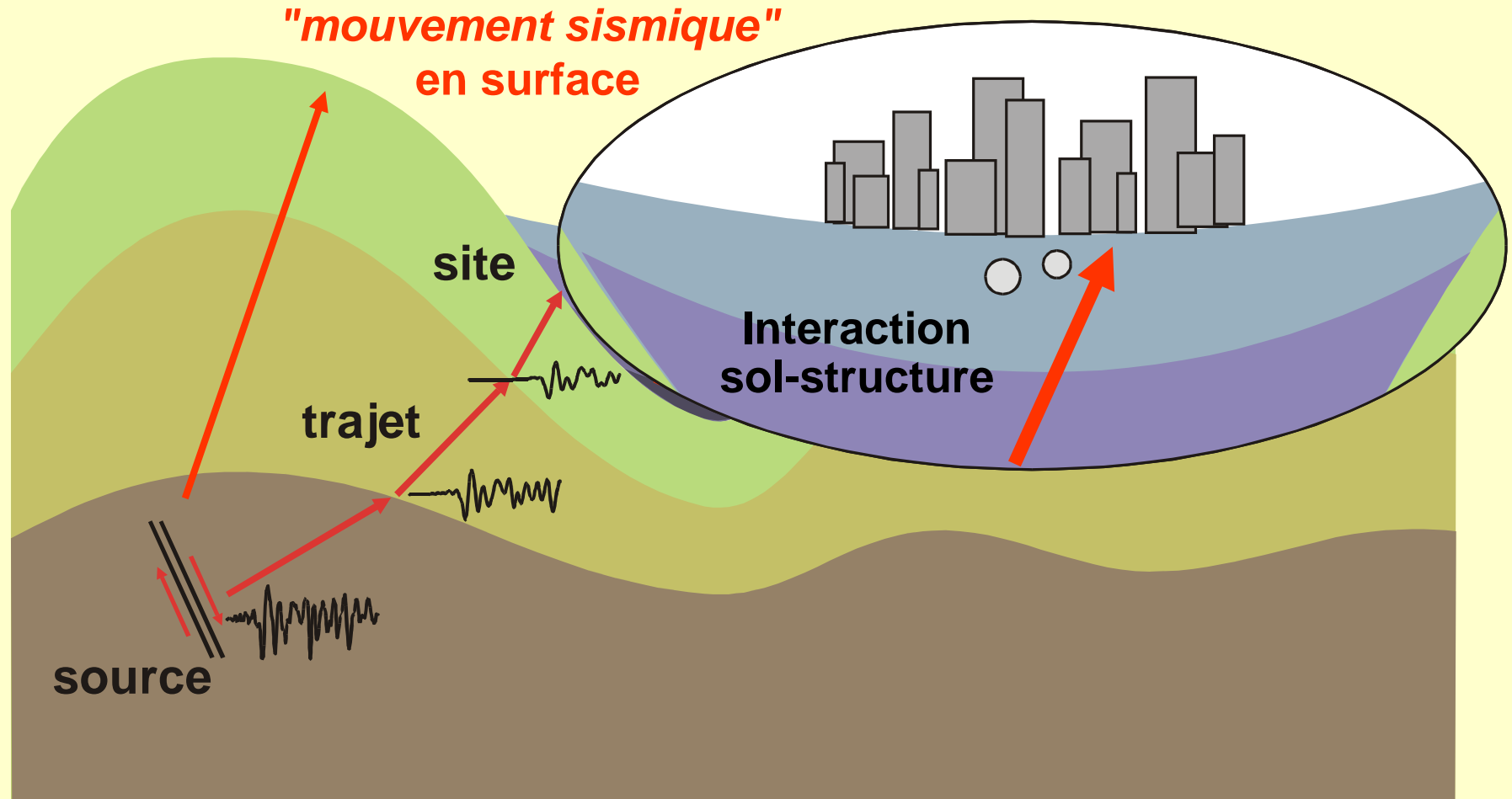


**nuisances ? dommages ?**

↔ **sources ? propagation ? ISS ?**



# Géotechnique sismique





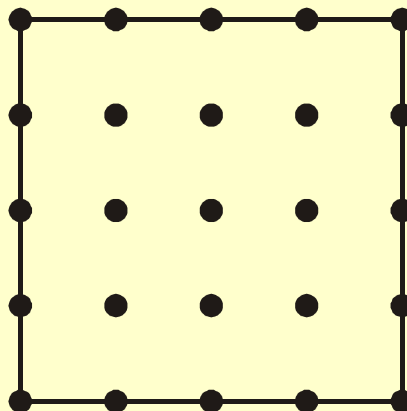
## II/ Modéliser la propagation d'ondes

### 1/ Différentes méthodes numériques

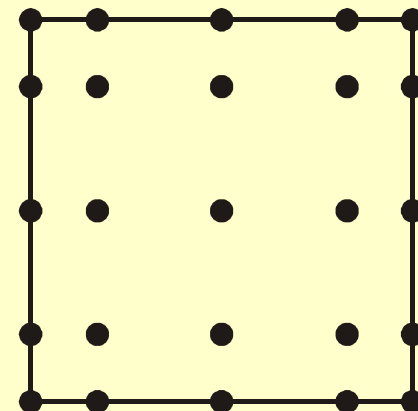


# Différentes méthodes numériques

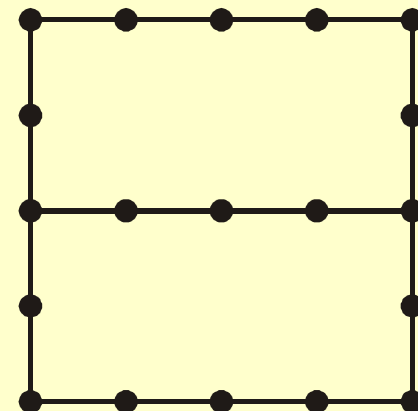
Éléments finis



Éléments spectraux



Éléments frontière



## FEM/SEM:

- Fortes hétérogénéités
- Comportements discontinus
- Dispersion numérique
- Réflexions parasites

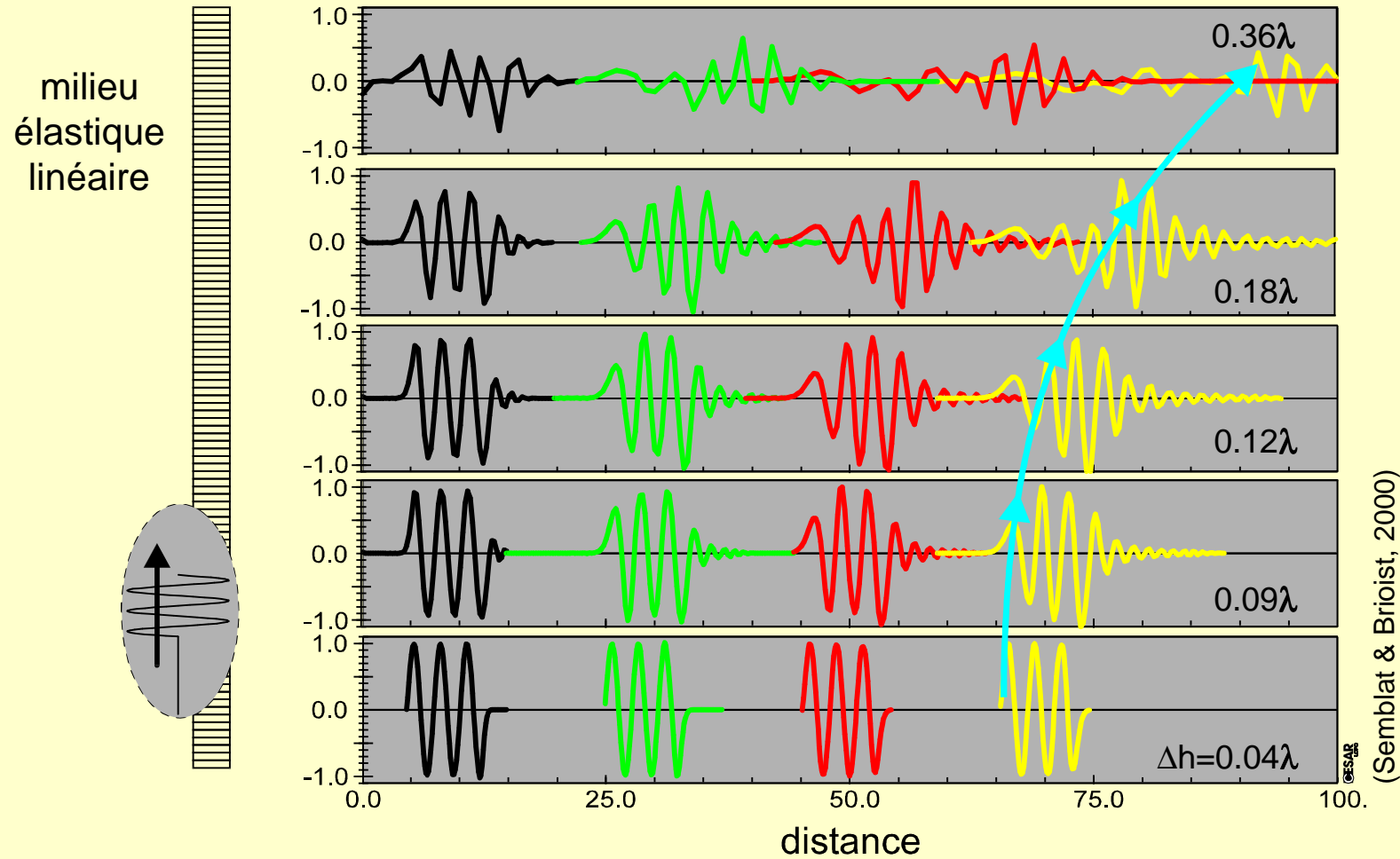
couplage,  
méthodes  
hybrides

## BEM:

- Faibles hétérog.
- Comportement linéaire
- Pas d'erreur cumulative
- Milieux infinis

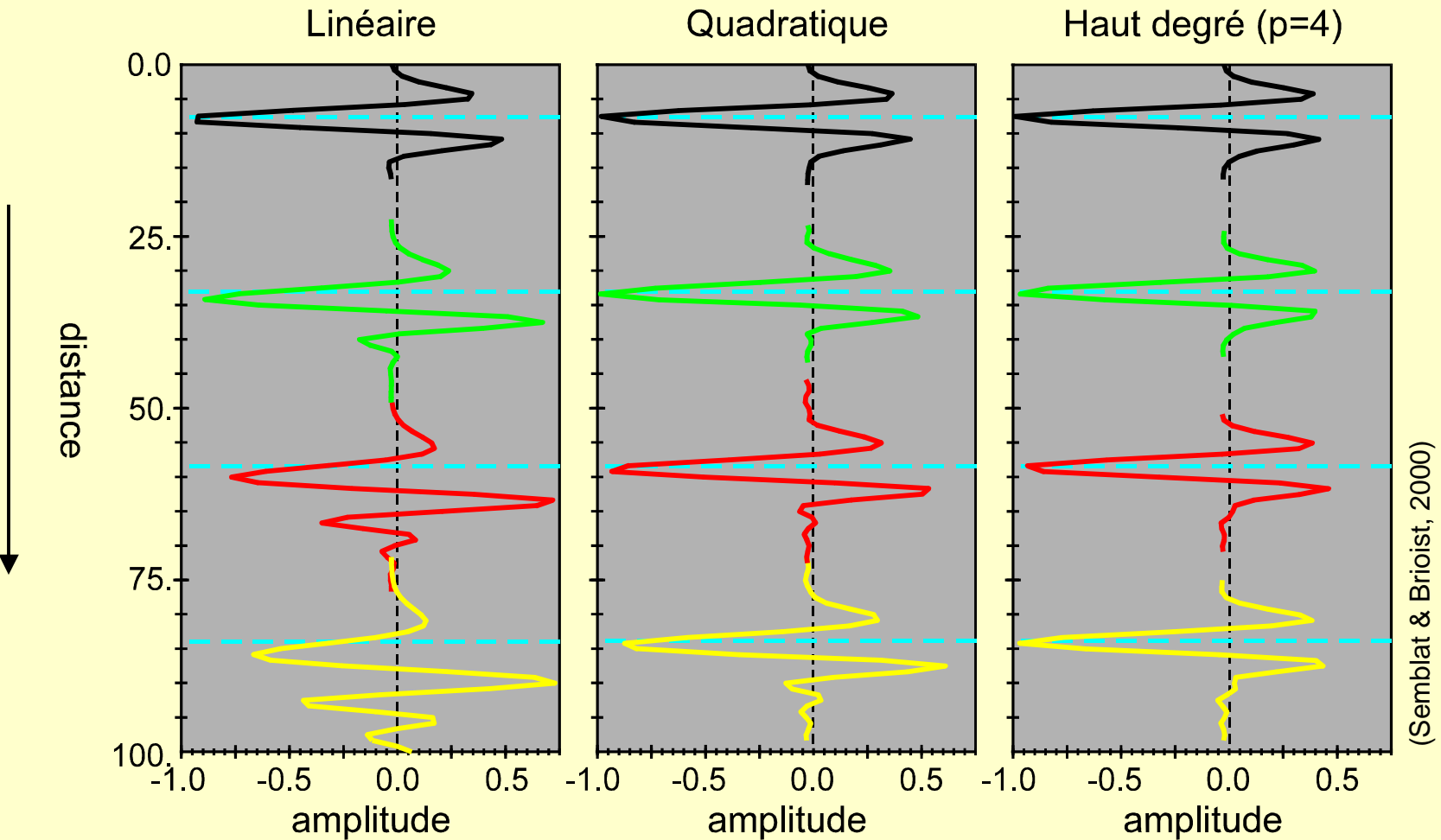


# FEM/SEM : dispersion numérique





# Élts finis de différents degrés





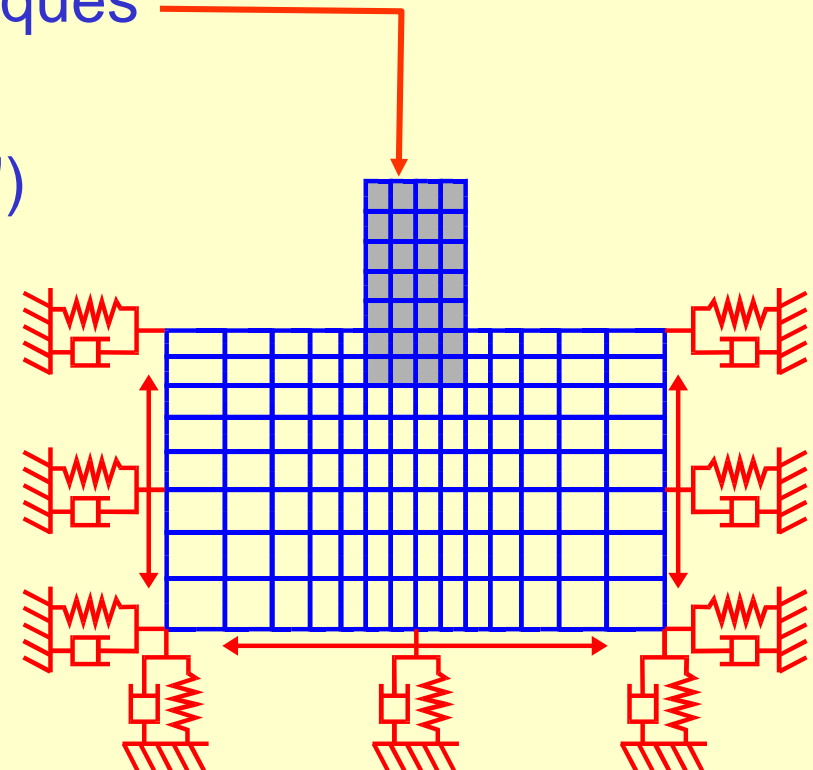
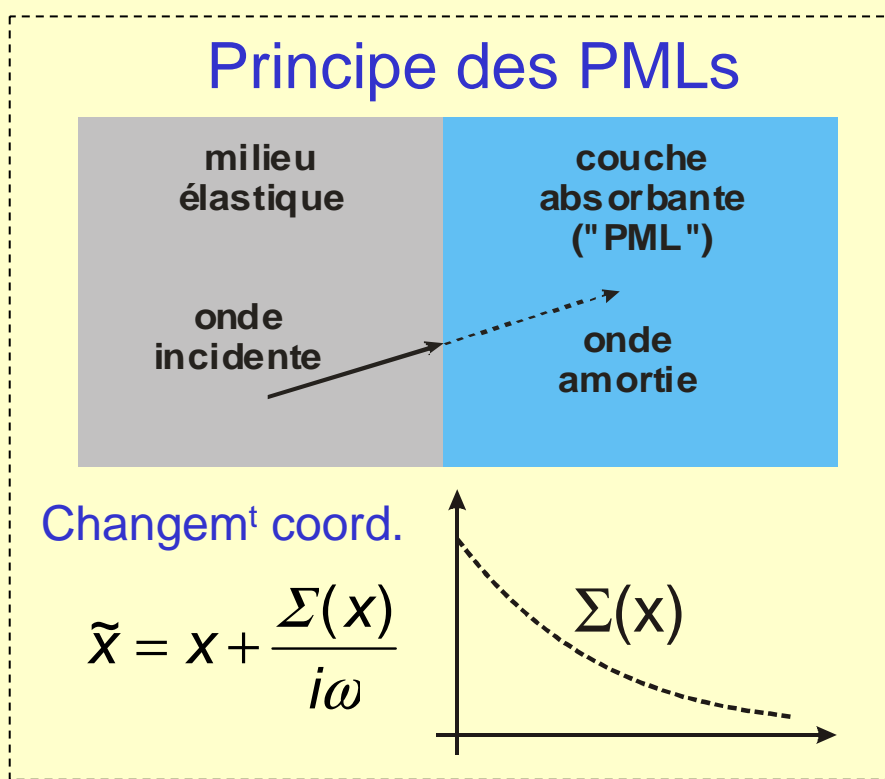
## II/ Modéliser la propagation d'ondes

### 2/ Propagation en milieu infini



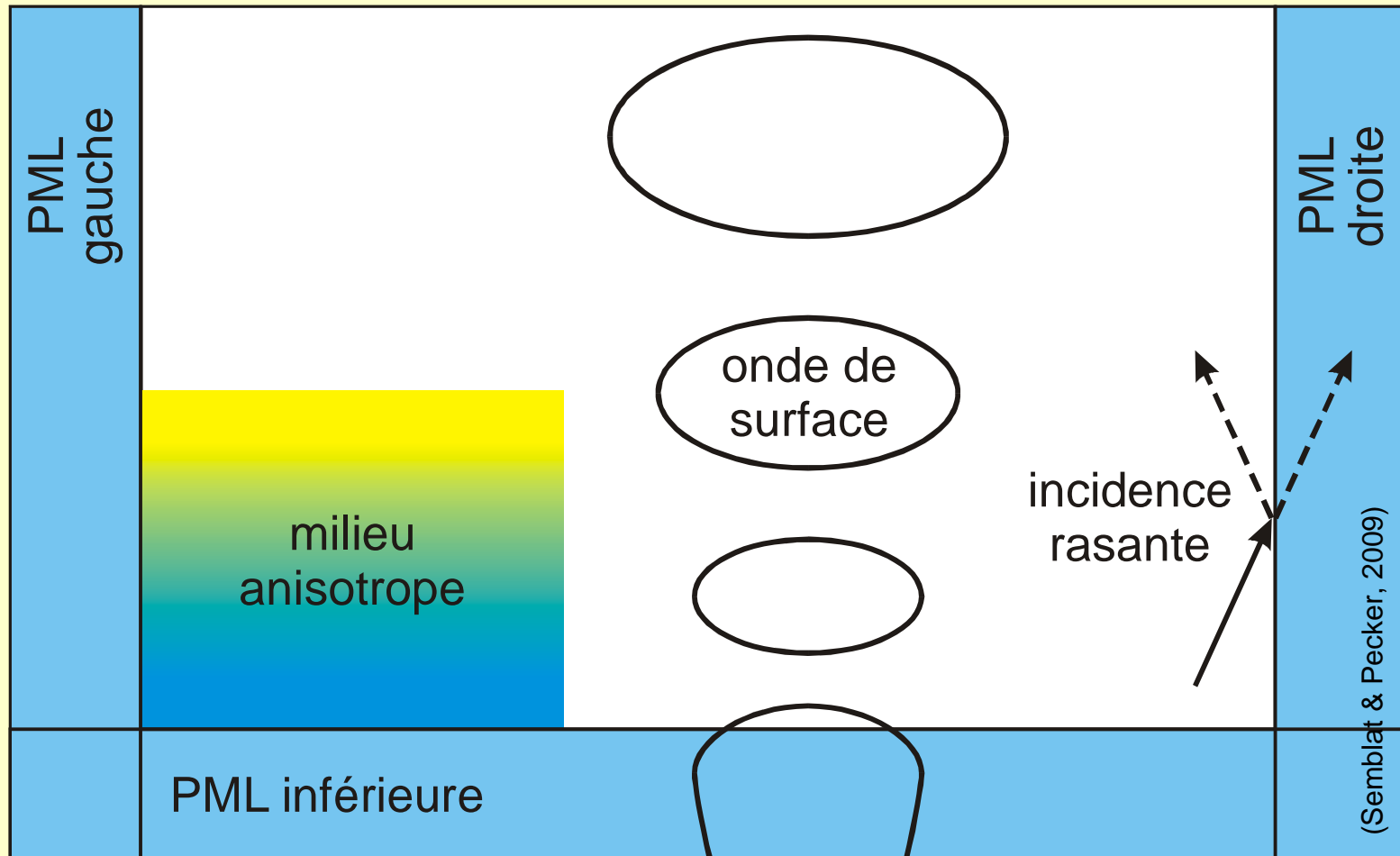
# Couches absorbantes ("PML")

- Frontières absorbantes classiques
- Éléments infinis
- Couches absorbantes ("PML")





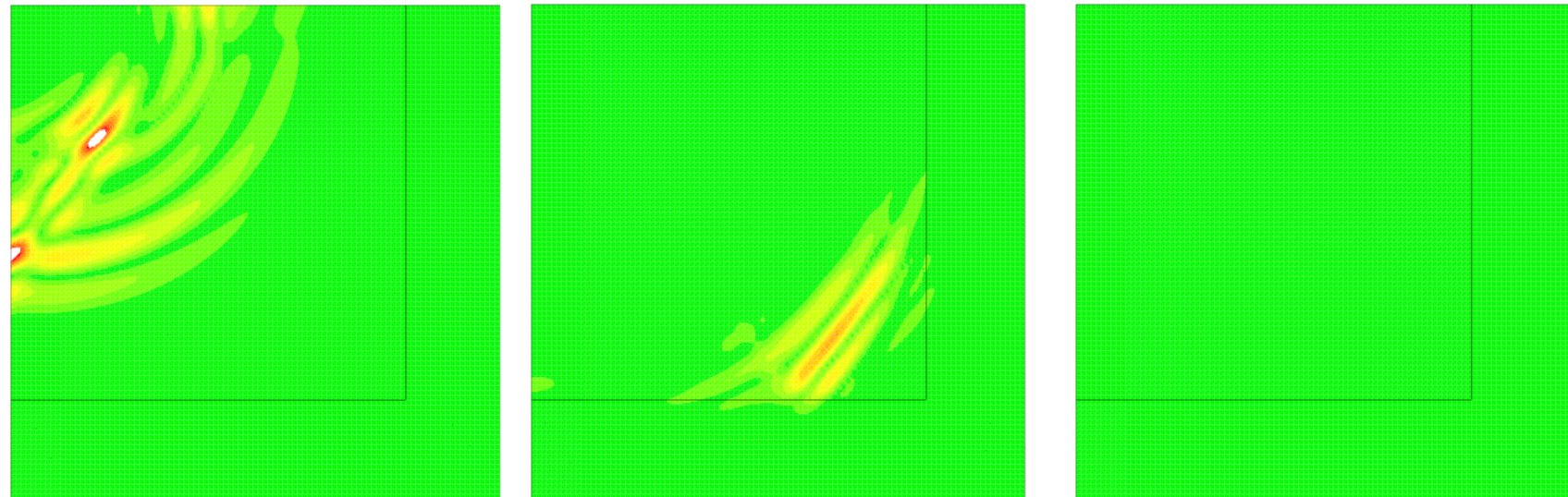
# Couches absorb.: instabilités





# Couches absorbantes

- Sol = milieu « infini » : pb pour FEM
- Couches absorbantes « simples » :
  - Couches avec amortissement de Rayleigh,
  - Amortissement homogène ou variable (« CALM »)



(Semblat, Lenti, Gandomzadeh, 2011)



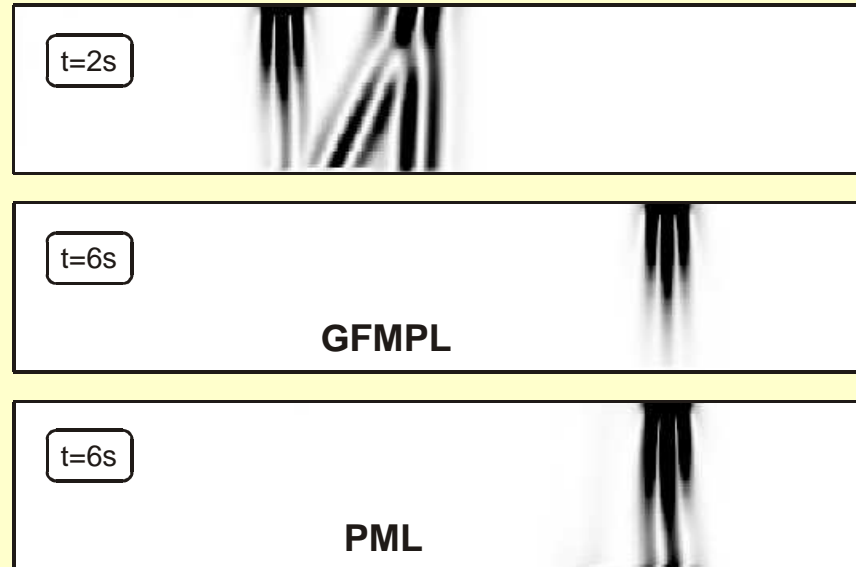
# PMLs "filtrantes"

- Ondes surface dans modèles peu profonds peuvent être amplifiées par PMLs classiques
- Festa et al. (2005) ont proposé une PML "filtrante" pour remédier à ce problème

Décalage fréquence :

$$\tilde{x} = x + \frac{\Sigma(x)}{i\omega + \omega_c}$$

Pas d' amplification artificielle des ondes de surface



(Festa et al., 2005)



## PMLs "multidirectionnelles"

- Pour des incidences rasantes ou des milieux anisotropes, les PMLs classiques peuvent s'avérer instables
- Meza-Fajardo et Papageorgiou (2008) ont proposé une formulation de PMLs "multidirectionnelles"

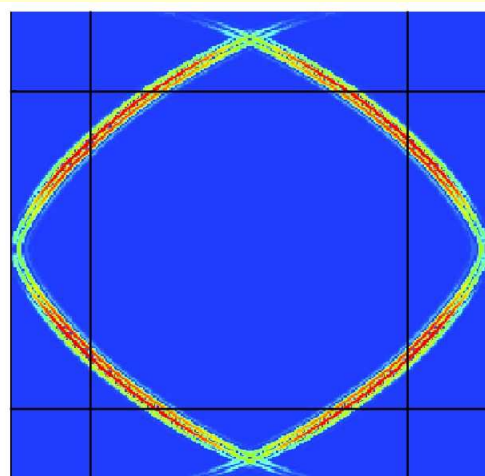
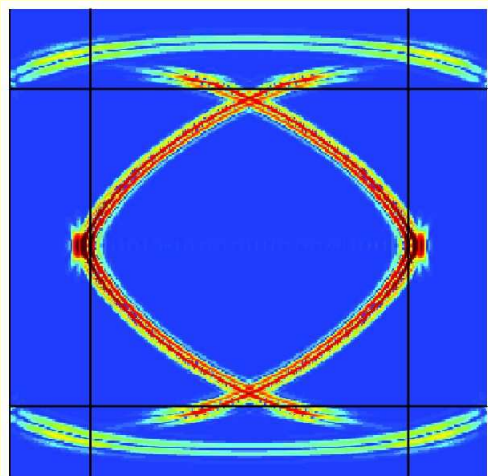
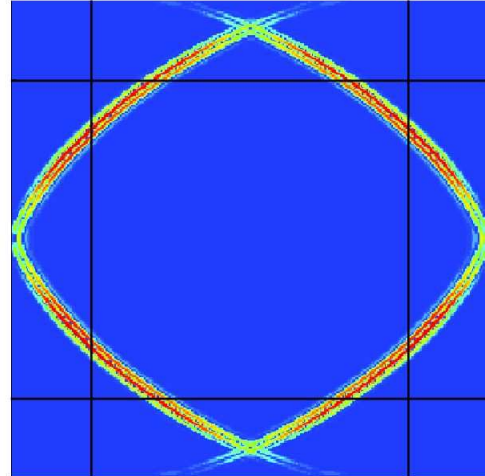
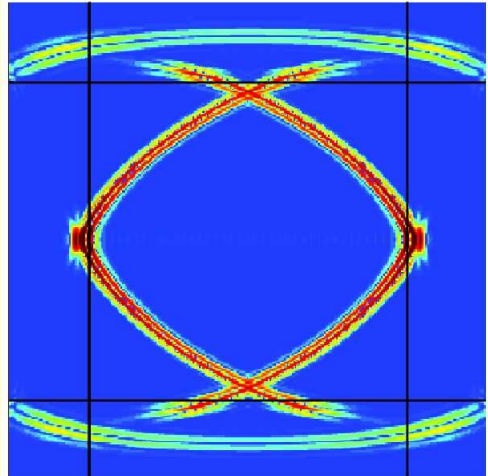
$$\tilde{x} = x + \frac{1}{i\omega} \alpha_x^{(x)} x ; \quad \tilde{y} = y + \frac{1}{i\omega} \alpha_y^{(x)} y ; \quad \tilde{z} = z + \frac{1}{i\omega} \alpha_z^{(x)} z$$

alors que :  $\alpha_y^{(x)} = \alpha_z^{(x)} = 0$  pour la formulation classique

- La formulation "MPML" autorise un choix optimal de la direction du "vecteur atténuation"



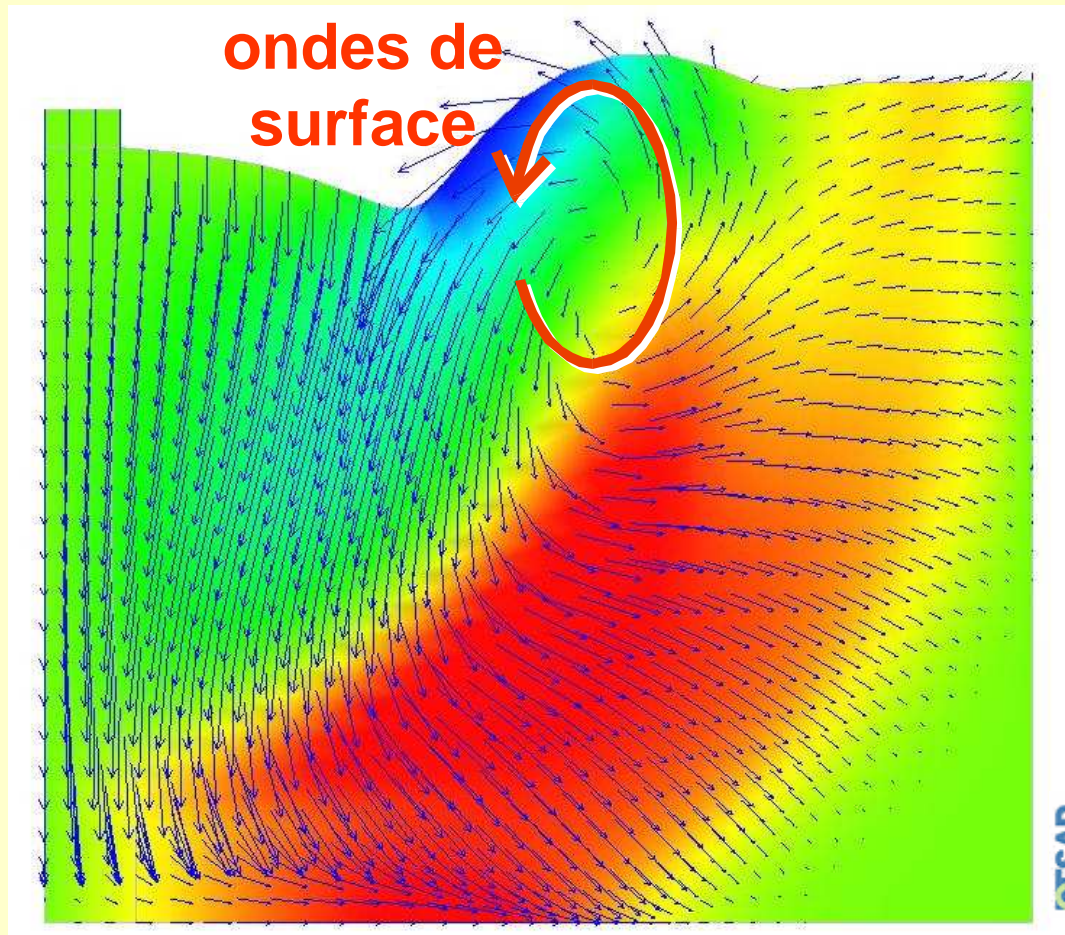
# Efficacités des "MPML"



(Meza-Fajardo & Papageorgiou, 2008)

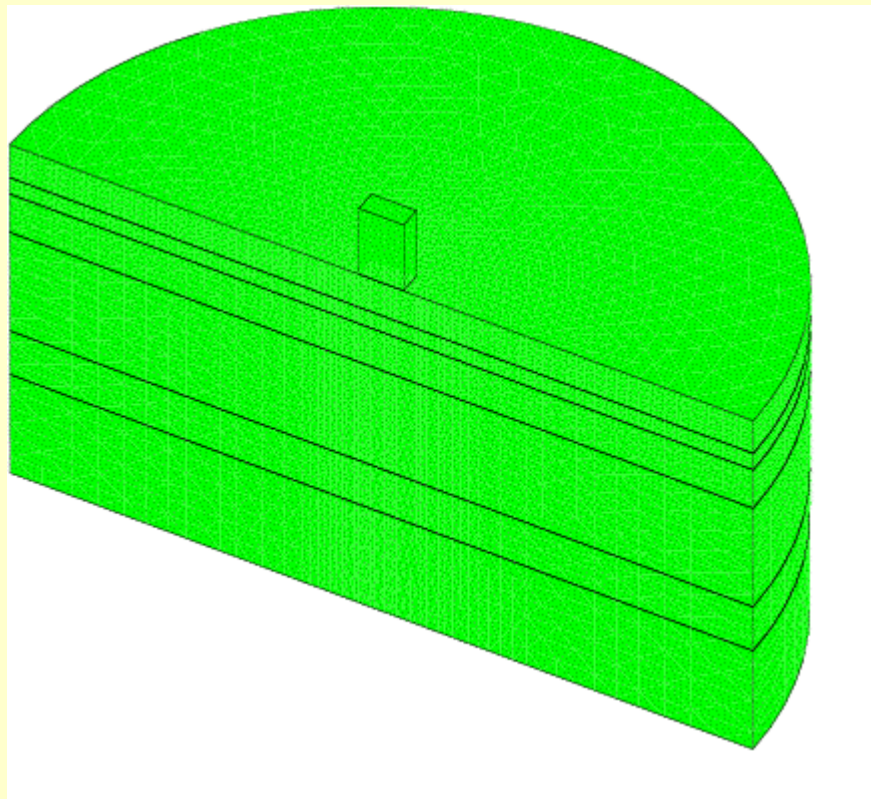


# Ex.1 : Fondation circulaire





## Ex.2 : Interaction sol-structure



CESAR  
LOGO



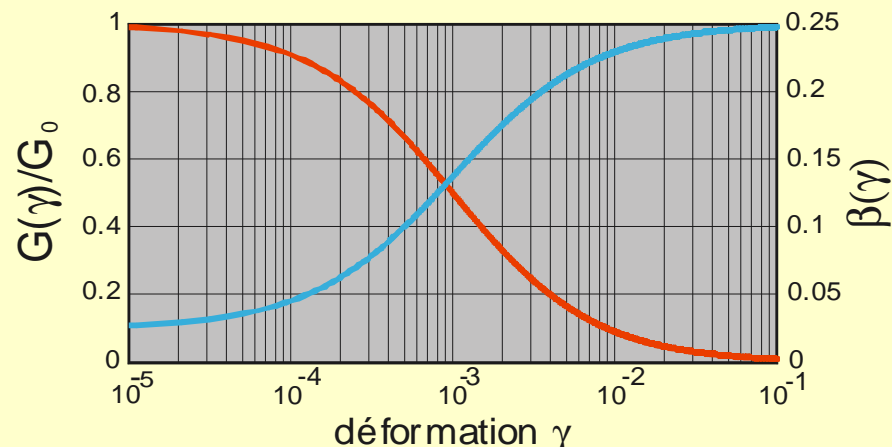
## III/ Comportement non linéaire

### 1/ Point de vue expérimental



# Cas des séismes forts

- **Séisme faible**  $\longrightarrow$  augmentation de l'amplification des ondes de surface (piégées dans les bassins sédimentaires)  
1D $\rightarrow$ 2D-3D
- **Séisme fort** (comportement cyclique non linéaire des sols)  $\longrightarrow$  réduction du module de cisaillement et augmentation de la dissipation énergétique





## III/ Comportement non linéaire

### 2/ Modèles simples et complexes



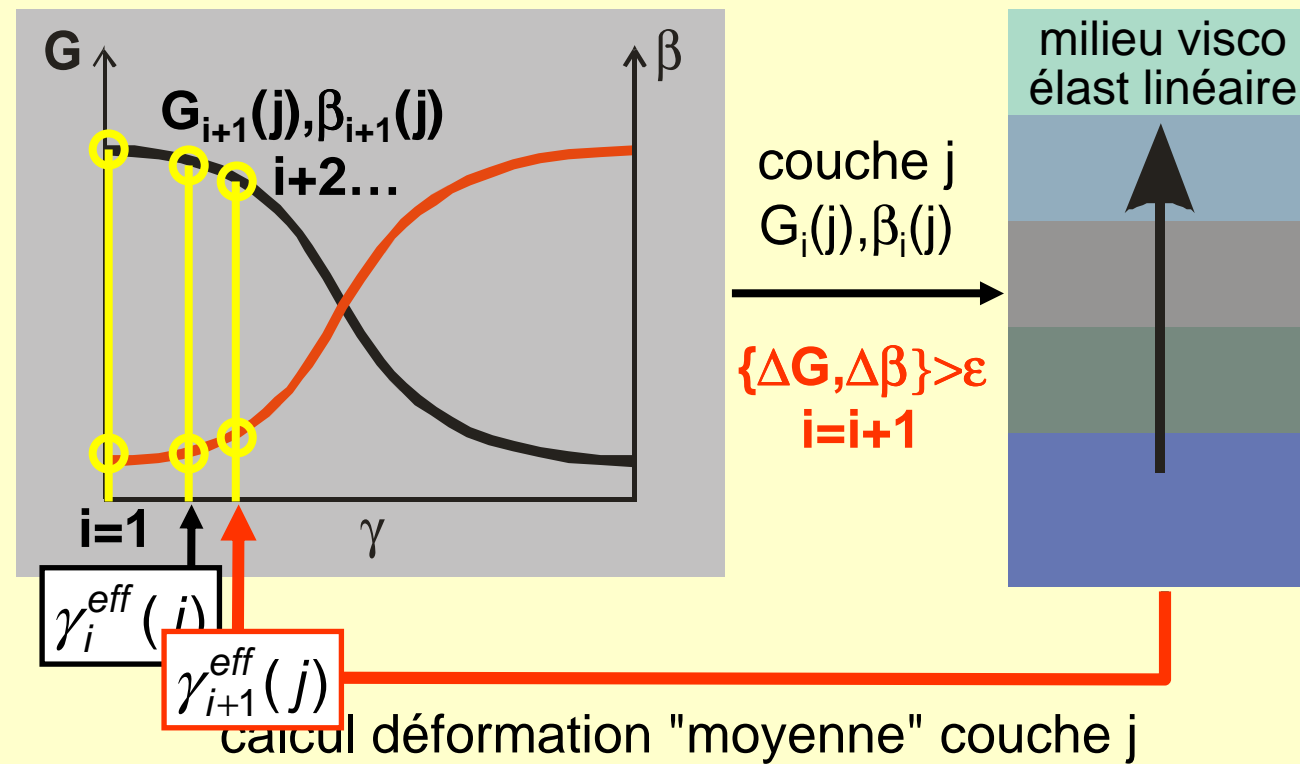
# Différents modèles NL

- Modèle linéaire équivalent (itératif, faible base physique, réponse «moyenne»/couche)
- Modèle dép. fréquence (Kausel, Assimaki) : base empirique, complexité intermédiaire
- Modèle « X-NCQ » (viscoélast. non linéaire) : base physique, complexité intermédiaire
- Modèles élastoplastiques cycliques : modèles fins mais parfois complexes (nombreux param.)
- Modèles « couplés » (pression interstitielle) : complexes mais utiles pour liquéfaction, lien avec labo et mesures in situ adaptées



# Modèle linéaire équivalent

- *Principe* : réaliser une analyse linéaire (fréq.) en ajustant paramètres comportem<sup>t</sup> à amplitude déform.





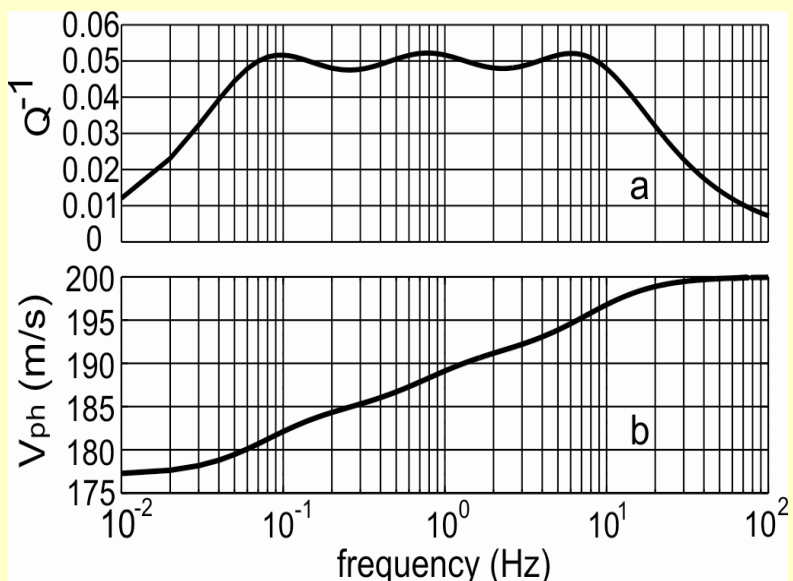
## III/ Comportement non linéaire

### 3/ Modèle non linéaire « X-NCQ »



# Modèle "Q-Quasi Cst" (NCQ)

- Amortissement varie général<sup>t</sup> peu avec la fréquence  
→ modèle Maxwell généralisé (Emmerich & Korn, 1987)
- Loi de comportement en temps :  $s_{ij}(t) = 2M_U \left[ e_{ij}(t) - \sum_{l=1}^n \zeta_l(t) \right]$
- Paramètres de relaxation  $\zeta$  tels que :  $\dot{\zeta}_l(t) + \omega_l \zeta_l(t) = \omega_l \frac{y_l}{1 + \sum_{l=1}^n y_l} e_{ij}(t)$



$$\text{avec } \sum_{l=1}^n y_l = \frac{\delta M}{M_R}$$

(a) Facteur qualité quasi-constant

$$Q^{-1}(\omega) \approx \sum_{j=l}^n y_j \frac{\omega / \omega_j}{1 + (\omega / \omega_j)^2}$$

(b) Vitesse de phase à faible sollicitation

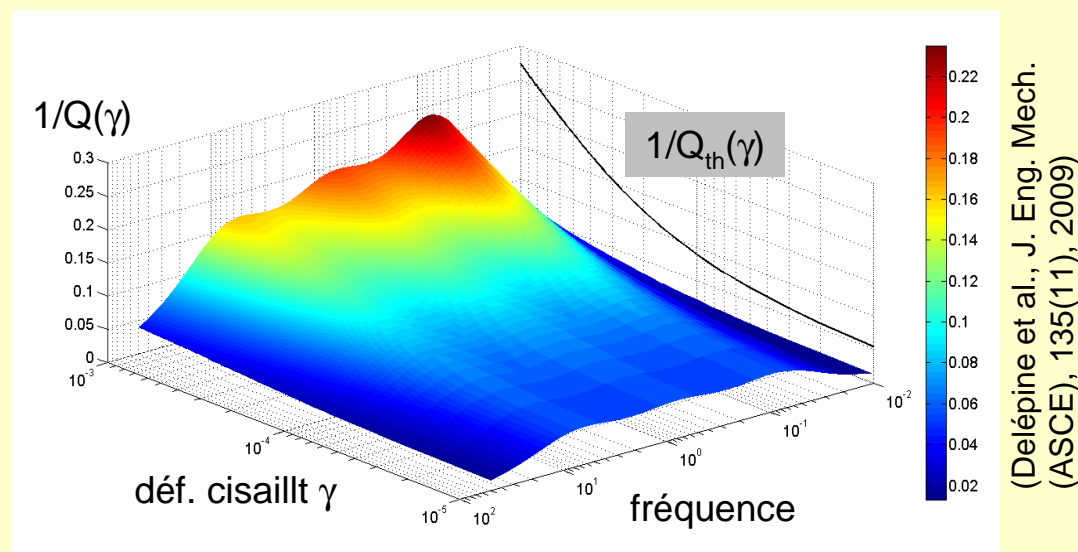


# Modèle "NCQ étendu" (X-NCQ)

- Extension de la loi de comportement dans le domaine non linéaire (élasticité non lin. + viscosité non linéaire)

$$s_{ij}(t) = 2M_U(J_2) \left[ e_{ij}(t) - \sum_{l=1}^n \zeta_l(t, y_l(J_2)) \right]$$

Variations  $Q^{-1}$  vs fréq.  
et déformation

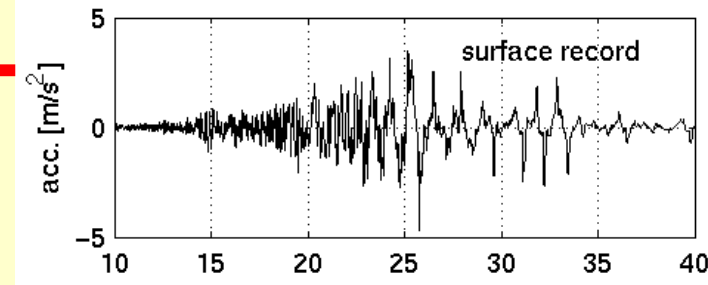
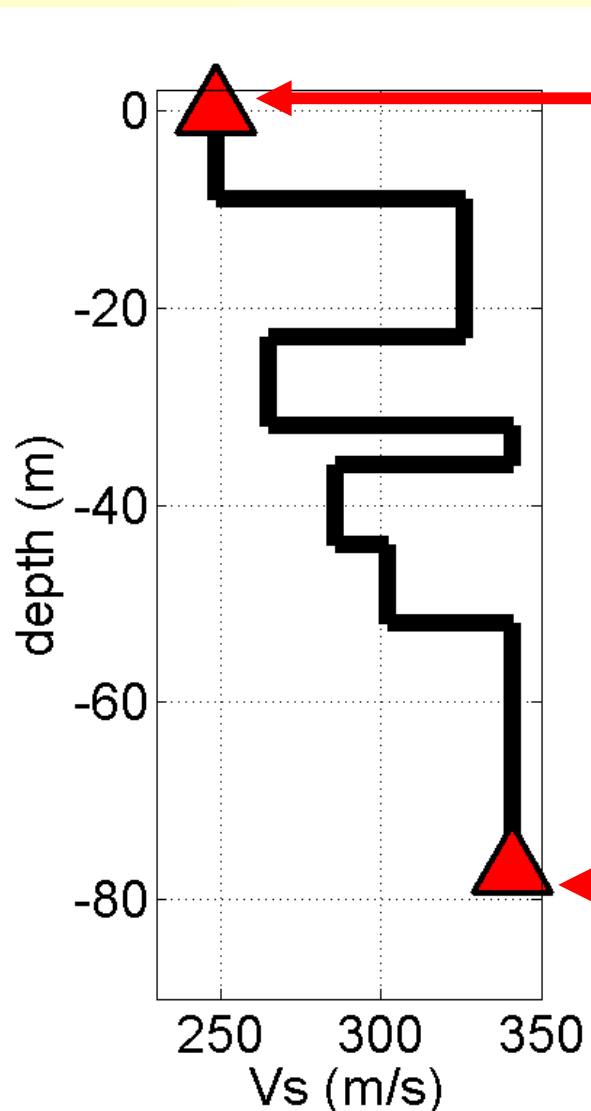


(Delépine et al., J. Eng. Mech. (ASCE), 135(11), 2009)

- Intérêt : un seul paramètre NL, propriétés  $G(\gamma)$  et  $\beta(\gamma)$

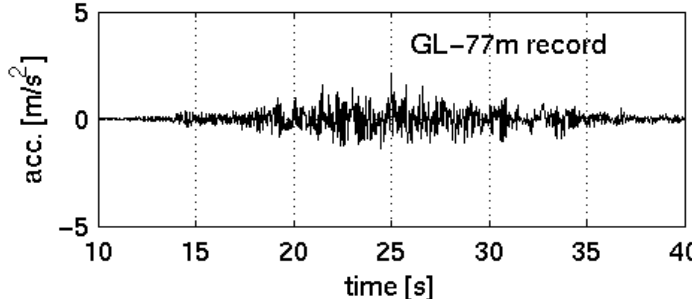


## Ex.3 : Kushiro-Oki (M7.1)



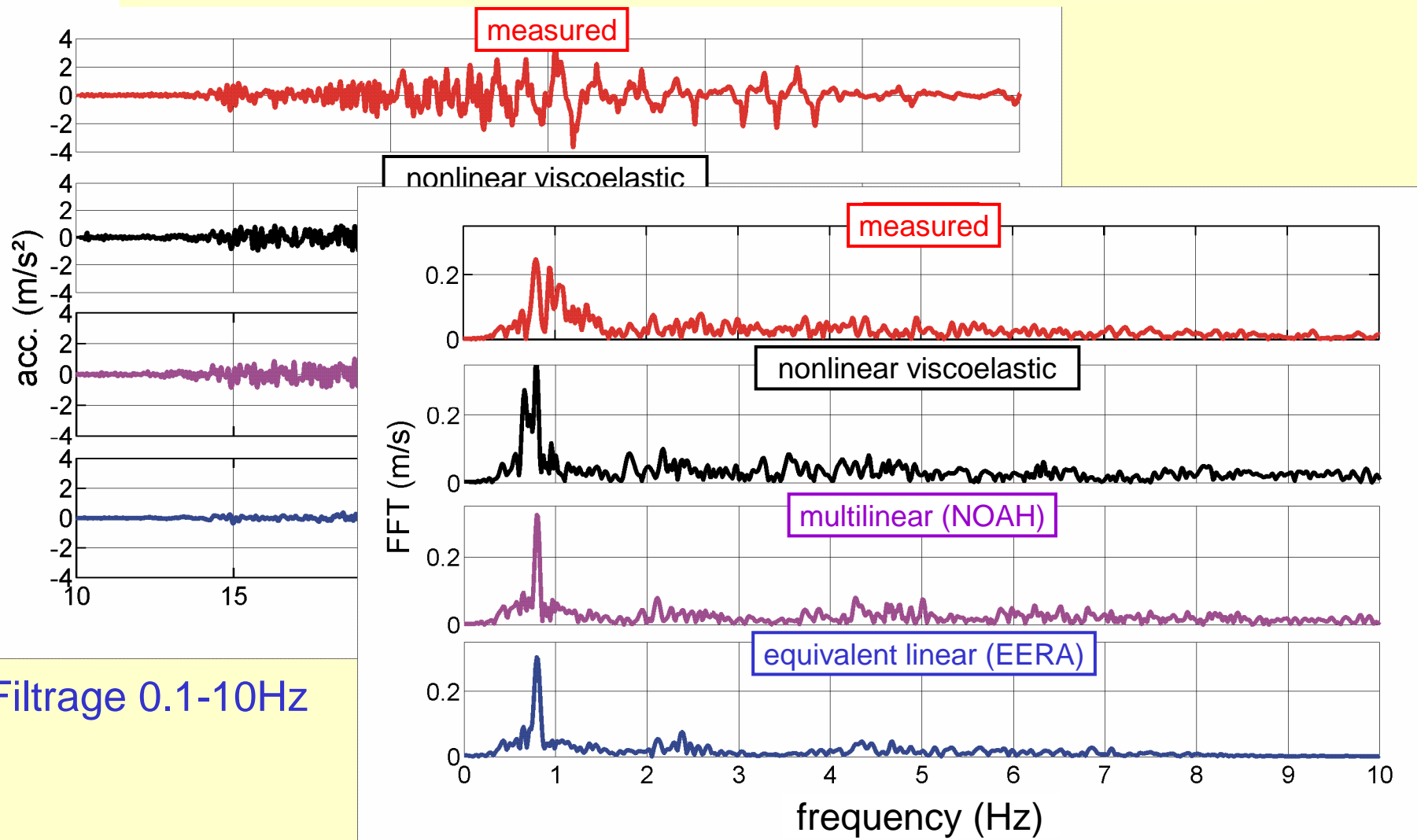
Epaisseur (m)	$\rho$ (t/m³)	G (MPa)	$\sigma_m$ (KPa)	$\phi_f$ (deg)	$\alpha_{NL}$	$Q_{min}$	$\beta_{min}$	$\beta_{max}$
9	1.72	106	37	40	2500	25	0.020	0.3
14	1.98	210	98	48	1750	33	0.015	0.3
9	1.73	121	164	37	981	30	0.017	0.3
4	1.76	205	195	44	1000	34	0.014	0.3
8	1.70	139	224	44	656	29	0.017	0.3
8	2.00	182	269	45	703	30	0.017	0.3
25	1.73	201	354	44	595	34	0.014	0.3
infinity								

(Iai et al. 1995)



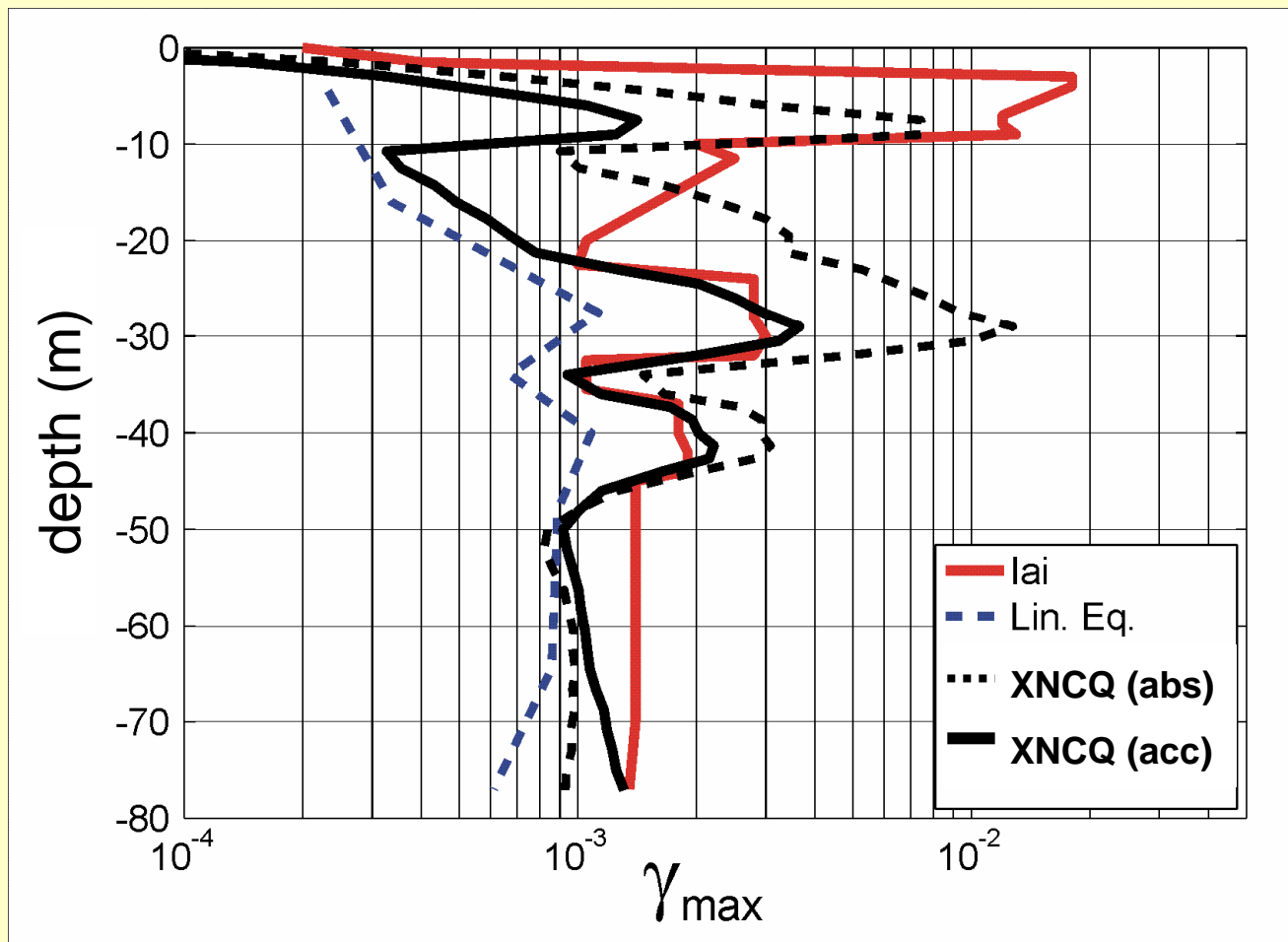


## Ex.3 : Résultats et comparaisons





## Ex.3 : $\gamma_{\max}$ fctn de la profondeur



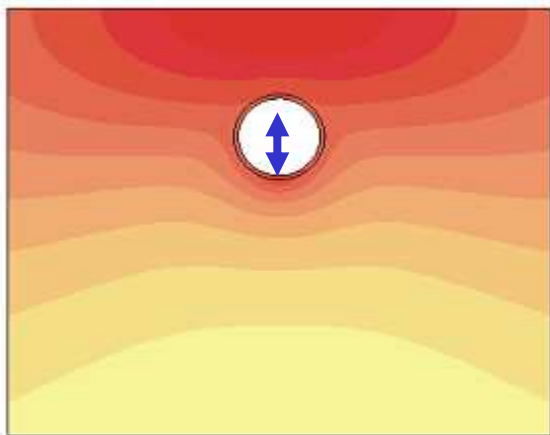


## IV/ Intérêt de la méthode des éléments de frontière

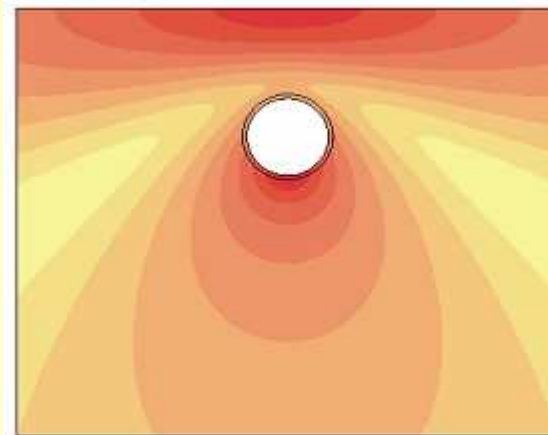


## Ex.4 : Vibration tunnel

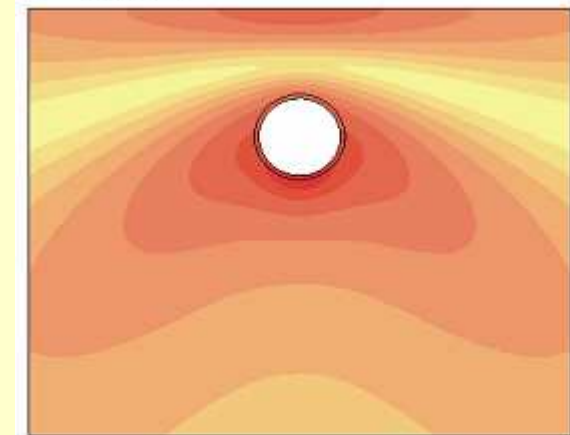
$f=5\text{Hz}$



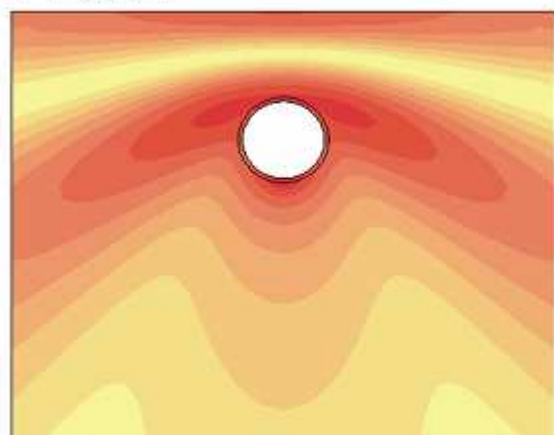
$f=10\text{Hz}$



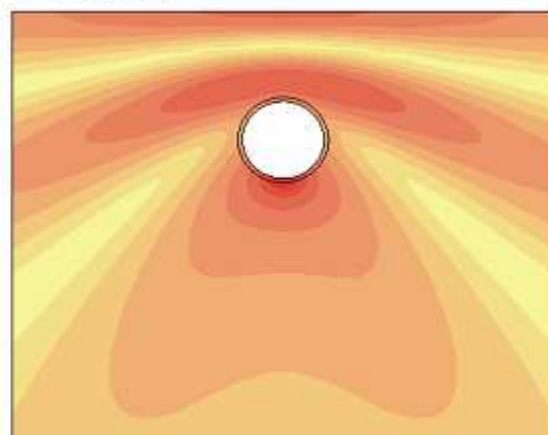
$f=15\text{Hz}$



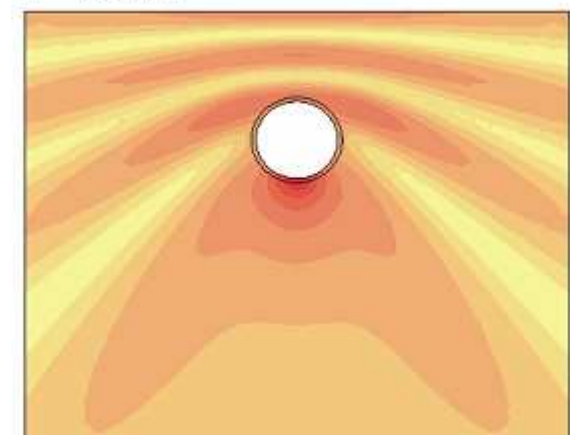
$f=20\text{Hz}$



$f=25\text{Hz}$

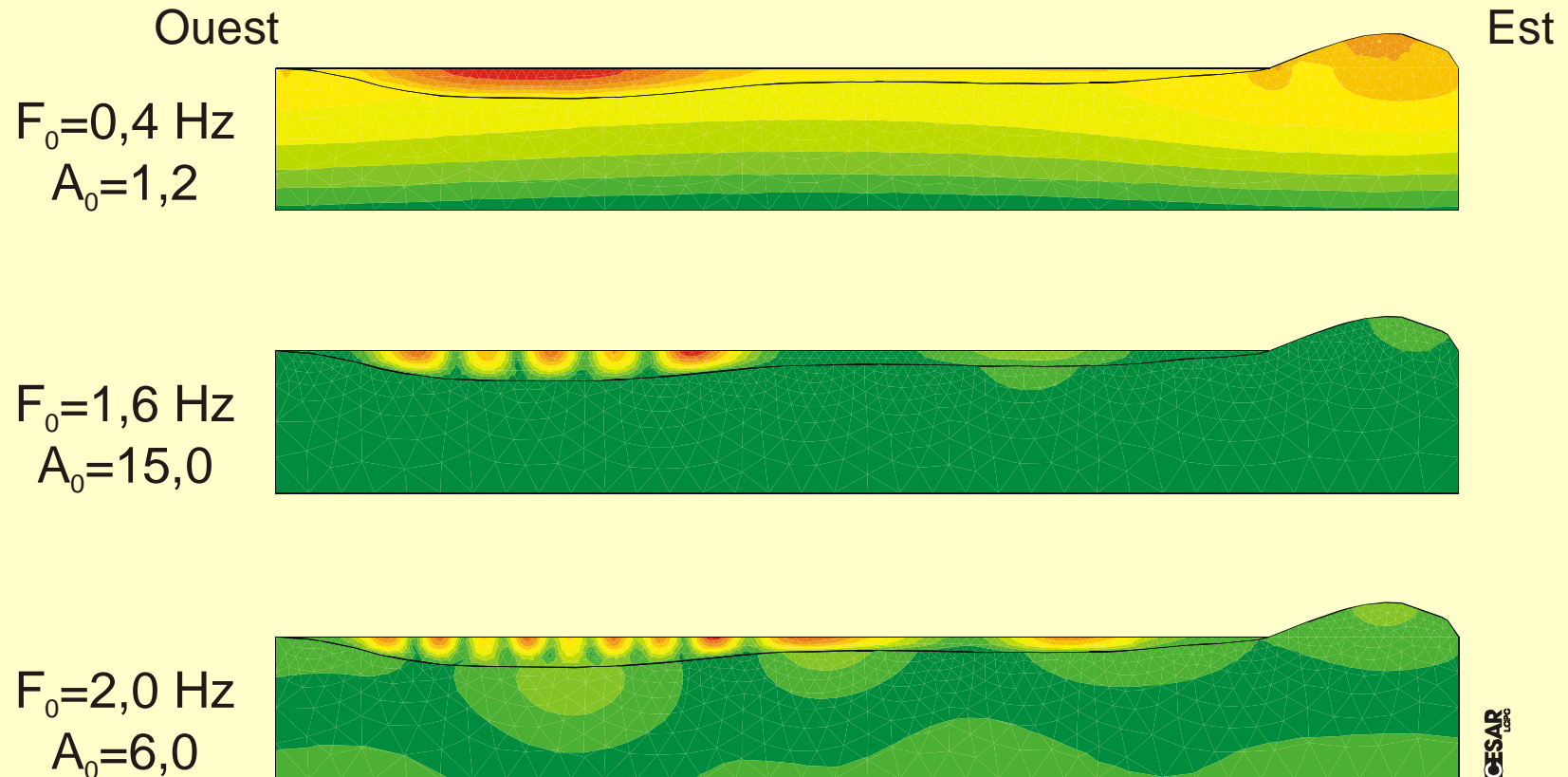


$f=40\text{Hz}$





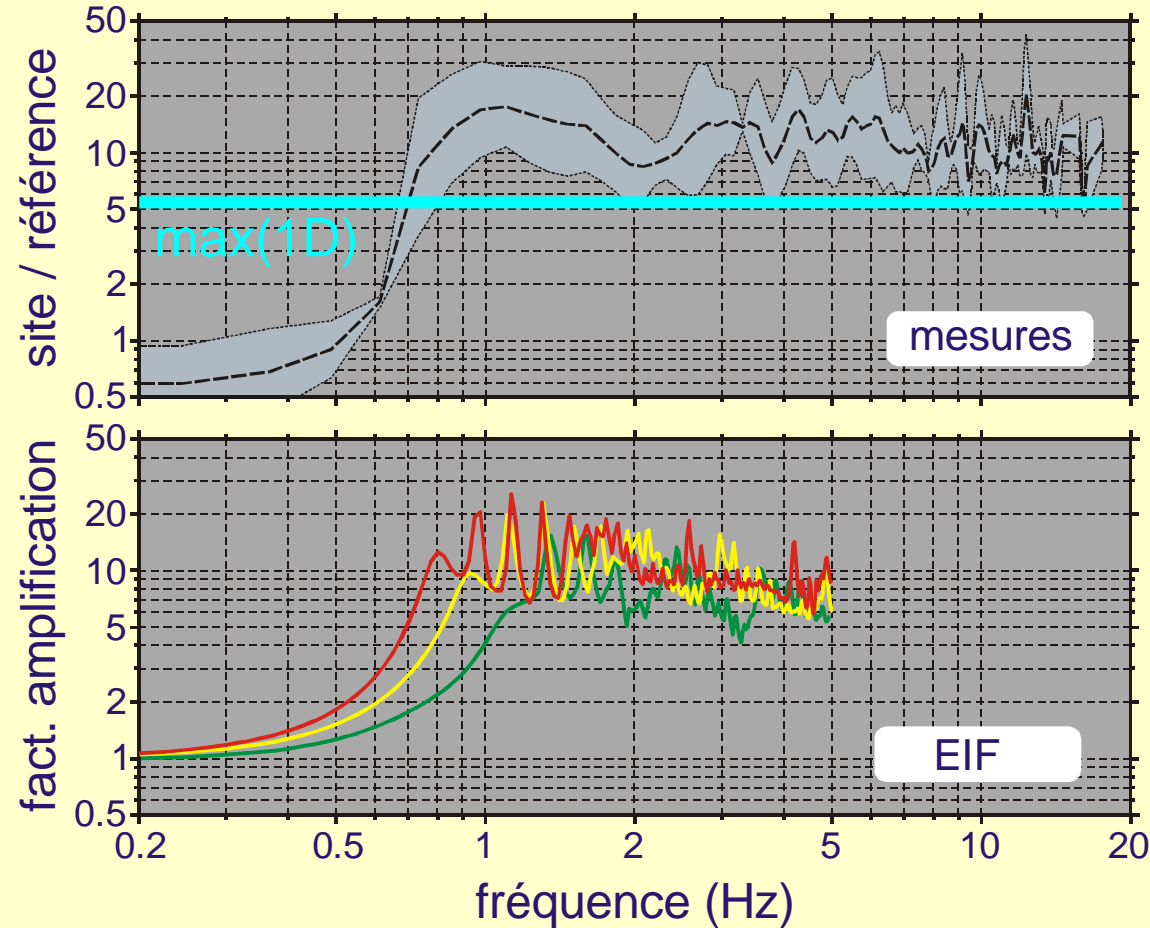
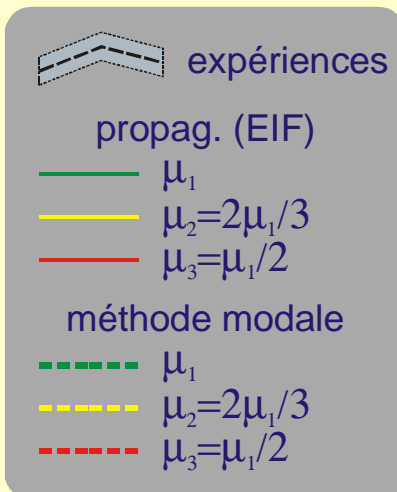
# Ex.5 : Amplification (Nice)





# Ex.5 : Comparaison mesures

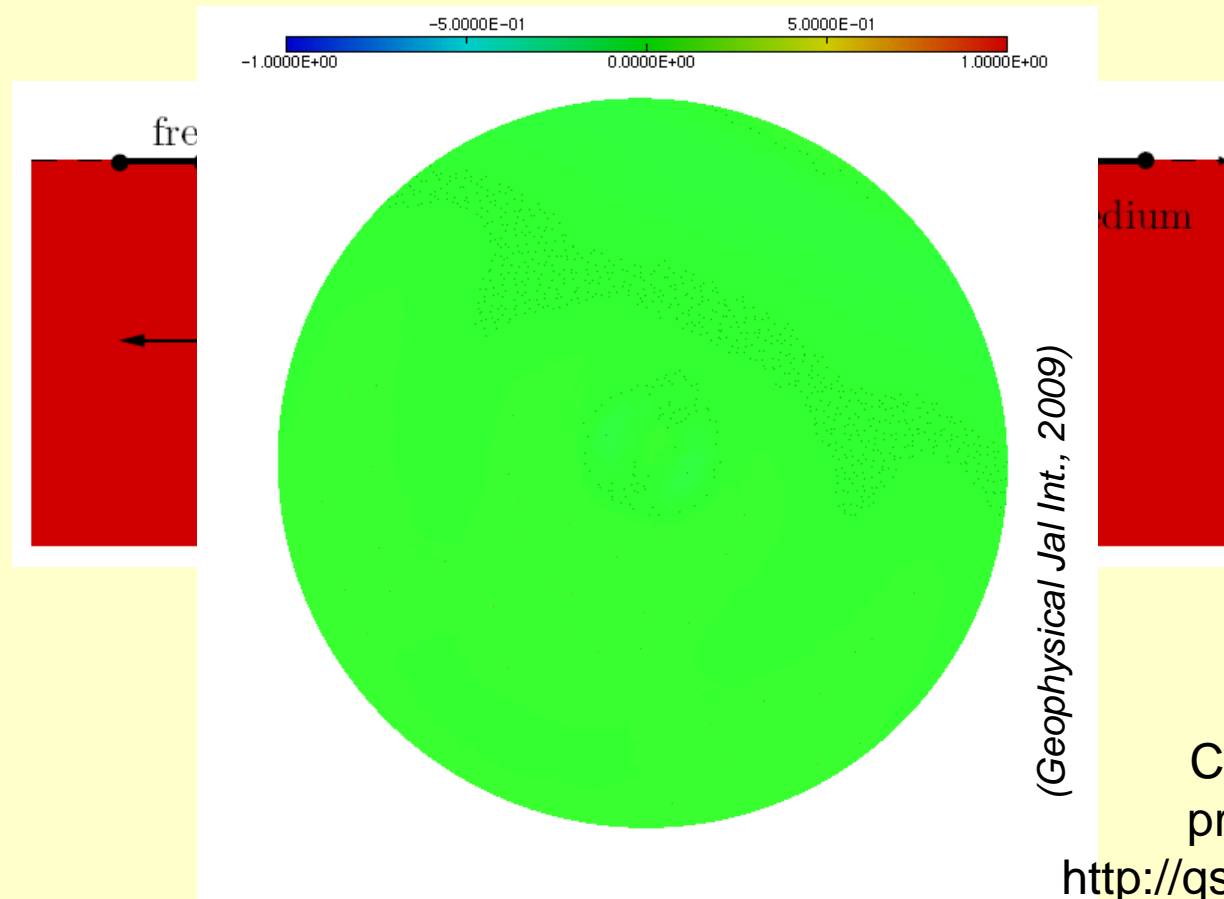
ondes SH





## Ex.6 : Bassin tridimensionnel (FMM)

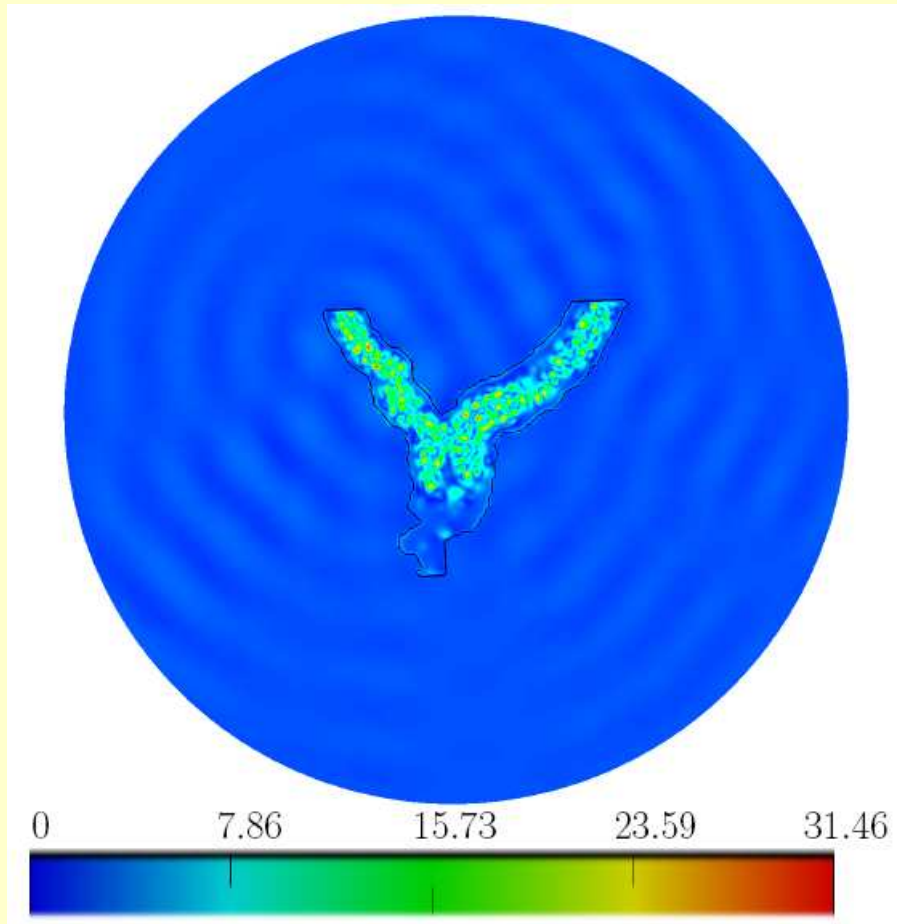
- Réf.: Mossessian & Dravinski, EESD 1990





## Ex.6 : Bassin Grenoble (FMM)

- Maillage 3D
- Onde plane
- Module du déplac vertical à  $f=0.6\text{Hz}$
- Calcul :  
 $N=141288$   
747 itérat. avec précondition.  
(75h sur PC !)



(S. Chaillat, J-F Semblat, M. Bonnet, CiCP, 2010)



# Merci !

<http://perso.lcpc.fr/semblat.jean-francois>

**Bard P.Y., Chazelas J.L., Guéguen P., Kham M., Semblat J.F.**, Assessing and managing earthquake risk - Chap.5 : Site-city interaction, Springer, 2005.

**Becache E., Fauqueux S., Joly P.** (2003). Stability of perfectly matched layers, group velocities and anisotropic waves, *Jal Computational Physics*, 188(2), pp.399-433.

**Bonnet M.**, Boundary integral equation methods for solids and fluids, Wiley, Chichester, UK, 1999.

**Chaillat S., Bonnet M., Semblat J.F.** (2009). A new fast multi-domain BEM to model seismic wave propagation and amplification in 3D geological structures, *Geophysical Journal International*, 177(2), pp.509-531.

**Clouteau D., Aubry D.** (2001). Modifications of the ground motion in dense urban areas, *Journal of Computational Acoustics*, 9, pp.1659-1675.

**Dangla P., Semblat J.-F., Xiao H.H., Delépine N.**, A simple and efficient regularization method for 3D BEM: application to frequency-domain elastodynamics, *Bull. of Seismological Soc. of America*, 95(5): 1916-1927, 2005.

**Delépine N., Bonnet G., Lenti L., Semblat J.F.** (2009). Nonlinear viscoelastic wave propagation: an extension of Nearly Constant Attenuation models, *Journal of Eng. Mechanics (ASCE)*, 135(11), pp.1305-1314.

**Festa G., Villette J.P., Delavaud E.** (2005). Interaction between surface waves and absorbing boundaries for wave propagation in geological basins : 2D numerical simulations, *Geophysical research letters*, 32(20), pp.L20306.1-L20306.4.

**Kham M., Semblat J.F., Bard P.Y., Dangla P.**, Site-City Interaction: Main Governing Phenomena Through Simplified Numerical Models, *Bull. Seism. Soc. Am.*, 96(5): 1934-1951, 2006.

**Meza-Fajardo K., Papageorgiou A.** (2008). A nonconvolutional, split-field, perfectly matched layer for wave propagation in isotropic and anisotropic elastic media: stability analysis, *Bull. Seism. Soc. Am.*, 98(4), pp.1811-1836.

**Semblat J.F., Lenti L., Gandomzadeh A.** A simple and efficient absorbing layer method in elastodynamics, *Int. Journal for Numerical Methods in Eng.*, 2011.

**Semblat J.F., Pecker A.** Waves and vibrations in soils, IUSS Press, 500 p., 2009.

**Semblat J.F., Kham M., Bard P.Y.**, Seismic wave propagation in alluvial basins and influence of Site-City Interaction, *Bull. Seism. Soc. of America*, 98(4), 2008.

**Semblat J.F., Kham M., Parara E., Bard P.Y., Pitilakis K., Makra K., Raptakis D.** (2005). Site effects: basin geometry vs soil layering, *Soil Dynamics and Earthquake Eng.*, 25(7-10), pp.529-538.

**Semblat J.F., Duval A.M., Dangla P.**, Numerical analysis of seismic wave amplification in Nice (France) and comparisons with experiments, *Soil Dynamics and Earthquake Eng.*, 19(5): 347-362, 2000.

**Semblat J.F., Brioist J.J.**, Efficiency of higher order finite elements for the analysis of seismic wave propagation, *Journal of Sound and Vibration*, 231(2), pp.460-467, 2000.